



TÉLÉCOMMUNICATIONS

Devoir 2

Auteur :
LAANAIYA Mahmoud

Professeur encadrant : Belmekki Baha Eddine

Table des matières

1	Introduction	5
1.1	Objectif	5
1.2	Schéma général des chaines de transmission à étudier	5
1.2.1	Information binaire à transmettre	5
1.2.2	Mapping	5
1.2.3	Suréchantillonnage	5
1.2.4	Filtrage de mise en forme	5
1.2.5	Canal de propagation	5
1.2.6	Filtrage de réception	6
1.2.7	Echantillonnage	6
1.2.8	Décision	6
1.2.9	Demapping	6
2	Etude sans canal de propagation : bloc modulateur/démodulateur	6
2.1	Modulateur	6
2.2	Démodulateur	6
2.2.1	Filtre de réception	6
2.2.2	Echantillonnage	7
2.2.3	Decision	8
2.2.4	Demapping	8
3	Etude avec canal de propagation sans bruit	8
3.1	BW = 4000 Hz	9
3.2	BW = 1000 Hz	10
3.2.1	Remarque :	10
4	Réponse aux questions	12
4.1	Etude sans canal de propagation : bloc modulateur/démodulateur	12
4.1.1	Expliquez comment sont obtenus les instants optimaux d'échantillonnage (permettant d'échantillonner sans interférences entre symboles) :	12
4.1.2	Expliquez pourquoi le le taux d'erreur binaire de la transmission n'est plus nul lorsqu'on échantillonne à $n_0 + mN_s$, avec $n_0 = 3$:	14
4.2	Etude avec canal de propagation sans bruit	14
4.2.1	Expliquez votre réponse (oui ou non) en utilisant le tracé, sur la même figure, de $ H(f)H_r(f) $ et de $ H_c(f) $, où $H(f)$ est la réponse en fréquence du filtre de mise en forme, $H_r(f)$ la réponse en fréquence du filtre de réception et $H_c(f)$ la réponse en fréquence du filtre canal :	14
4.2.2	Expliquez votre réponse (oui ou non) en utilisant le tracé le diagramme de l'oeil à la sortie du filtre de réception :	16
5	Références	18

Table des figures

1	La fonction g de la première chaine	7
2	La fonction g de la deuxième chaine	7
3	Diagramme de l'oeil de la première chaine	8
4	Diagramme de l'oeil de la deuxième chaine	8
5	$ H(f)H_r(f) $ et $ H_c(f) $	9
6	Diagramme de l'oeil rectangulaire	9
7	$ H(f)H_r(f) $ et $ H_c(f) $	10
8	Diagramme de l'oeil en cosinus	10

9	$ H(f)H_r(f) $ et $ H_c(f) $	11
10	Diagramme de l'oeil rectangulaire	11
11	$ H(f)H_r(f) $ et $ H_c(f) $	11
12	Diagramme de l'oeil en cosinus	12
13	La fonction g de la première chaine	12
14	La fonction g de la deuxième chaine	13
15	Diagramme de l'oeil de la première chaine	13
16	Diagramme de l'oeil de la deuxième chaine	14
17	$ H(f)H_r(f) $ et $ H_c(f) $	15
18	$ H(f)H_r(f) $ et $ H_c(f) $	15
19	$ H(f)H_r(f) $ et $ H_c(f) $	16
20	$ H(f)H_r(f) $ et $ H_c(f) $	16
21	Diagramme de l'oeil rectangulaire sans interférences	17
22	Diagramme de l'oeil en cosinus sans interférences	17
23	Diagramme de l'oeil rectangulaire avec interférences	17
24	Diagramme de l'oeil en cosinus avec interférences	18

1 Introduction

1.1 Objectif

Ce deuxième travail va être dédié à l'étude des interférences entre symboles dans une chaîne de transmission et à l'intérêt d'y respecter le critère de Nyquist. Pour cela, nous allons devoir implanter deux chaînes de transmission en bande de base sans bruit et les analyser en nous focalisant sur les interférences entre symboles : leur impact sur la transmission et l'influence du respect ou du non respect du critère de Nyquist.

1.2 Schéma général des chaînes de transmission à étudier

Un modulateur bande de base est composé des éléments suivants :

1.2.1 Information binaire à transmettre

La génération de l'information binaire à transmettre (bits 0 et 1 équiprobables et indépendants) pourra être réalisée grâce à la fonction `randi` de Matlab.

1.2.2 Mapping

Un mapping devra être réalisé afin de passer de l'information binaire aux symboles a_k . Le mapping est un des éléments qui pourra différer selon les modulateurs à implanter.

1.2.3 Suréchantillonnage

La suite d'impulsions de Dirac espacées de la durée symbole T_s et pondérées par les symboles a_k issus du mapping sera générée, en numérique, en insérant N_s-1 zéros entre deux symboles a_k , si N_s représente le nombre d'échantillons utilisés par symbole (ou facteur de sur échantillonnage : $T_s = N_s T_e$, T_e étant la période d'échantillonnage). N_s est déterminé pour que le signal numérique généré respecte la condition d'échantillonnage de Shannon.

1.2.4 Filtrage de mise en forme

La réponse impulsionnelle, $h(t)$, du filtre de mise en forme est un des éléments qui pourra différer selon les modulateurs à étudier et implanter. Ne seront implantés que des filtres de type RIF (à réponse impulsionnelle finie). Une fois la réponse impulsionnelle numérique générée ($h = [h(0)h(1)...h(N-1)]$, si N représente l'ordre du filtre), le filtrage pourra être réalisé en utilisant la fonction `filter` de Matlab : `signal_filtre = filter(h, 1, signal_a_filtre)` Première chaîne à étudier : on considèrera un filtre de mise en forme avec une réponse impulsionnelle rectangulaire de durée T_s .

Deuxième chaîne à étudier : on considèrera un filtre de mise en forme avec une réponse impulsionnelle en racine de cosinus surélevé de roll off $\alpha = 0.5$.

1.2.5 Canal de propagation

Nous considèrerons, dans ce travail, que le canal de propagation n'introduit pas de bruit. Il pourra par contre introduire un filtre, de réponse impulsionnelle h_c , qui sera également, en numérique, représentée par un tableau de valeurs (ou coefficients). Nous étudierons l'influence du bruit dans la troisième partie du cours.

Remarque :

Pour plus de figures et détails veuillez cliquer ici : [Code et Figures détaillés](#)

1.2.6 Filtrage de réception

La réponse impulsionnelle du filtre de réception sera, elle aussi, représentée par un tableau de valeurs (ou coefficients) : $hr = [hr(0)hr(1)...hr(N-1)]$, si N représente l'ordre du filtre, en supposant que l'on considère un filtre de type RIF (à réponse impulsionnelle finie). Cette réponse impulsionnelle est un des éléments qui va différer selon la chaîne de transmission à implanter :

Première chaîne à étudier : on considèrera un filtre de mise en forme avec une réponse impulsionnelle rectangulaire de durée T_s .

Deuxième chaîne à étudier : on considèrera un filtre de mise en forme avec une réponse impulsionnelle en racine de cosinus surélevé de roll off $\alpha = 0.5$. La réponse impulsionnelle du filtre en racine de cosinus surélevé pourra être obtenue en utilisant la fonction `rcosdesign.m` de Matlab. Le filtrage pourra être réalisé en utilisant la fonction `filter` de matlab : `signal_filtre = filter(hr,1,signal_a_filtre)`.

1.2.7 Echantillonnage

Le signal filtré devra être échantillonné à $n_0 + mN_s$ pour revenir au rythme symbole, n_0 représentant le numéro de l'échantillon à prélever dans la période T_s composée de N_s échantillons en numérique ($t_0 = n_0 T_e$ et $T_s = N_s T_e$). Nous aurons à choisir et à faire varier n_0 . L'instant d'échantillonnage optimal n_0 pourra être déterminé grâce au tracé de la réponse impulsionnelle $g(t)$ de toute la chaîne, ou encore grâce à un diagramme de l'œil tracé sans bruit en sortie du filtre de réception.

1.2.8 Décision

Un détecteur à seuil, avec seuil à zéro, devra être utilisé pour prendre les décisions. Cela pourra être réalisé, après échantillonnage à $n_0 + mN_s$, en utilisant la fonction `sign.m` de Matlab qui retournera -1 si l'échantillon prélevé est négatif et +1 s'il est positif. La justification théorique de la décision utilisant un détecteur à seuil, ainsi que le choix du/des seuil(s) optimal(aux), seront abordés dans les vidéos de la partie suivante du cours.

1.2.9 Demapping

Un demapping devra être réalisé en vue de comparer les bits aux bits émis dans l'objectif de calculer le taux d'erreur binaire de la transmission implantée. On pourra revenir au niveau binaire, à partir des décisions prises sur les symboles, de la manière suivante : $(\text{symboles} + 1)/2$ (applicable si le bit 0 a été remplacé par -1 et le bit 1 par +1 au moment du mapping, à adapter sinon).

2 Etude sans canal de propagation : bloc modulateur/démodulateur

2.1 Modulateur

La partie modulateur est presque la même que celle faite au devoir 1. On passe alors à la partie démodulateur... Mais sans canal de propagation !

Remarque :

Pour la deuxième chaîne on traite le retard causé par le filtre en cosinus : `rcosdesign(0.5,8,Ns)` par `signal_filtre_cos = filter(h_cos,1,[Kronrzeros(1,Ns*8)])`

2.2 Démodulateur

2.2.1 Filtre de réception

Puisqu'il n'y a pas de canal de propagation, on passe directement au filtre de réception. Grâce à la fonction `flplr.m` de Matlab, on obtient deux filtres de réception pour les deux chaînes. Puis on filtre avec ces filtres le signal qu'on a eu à la sortie du modulateur.

2.2.2 Echantillonnage

D'après la fonction g on choisit notre n_0 pour le filtre rectangulaire puis pour celui en cosinus.

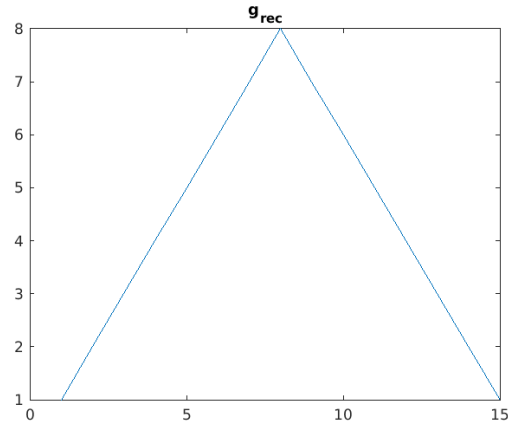


FIGURE 1 – La fonction g de la première chaîne

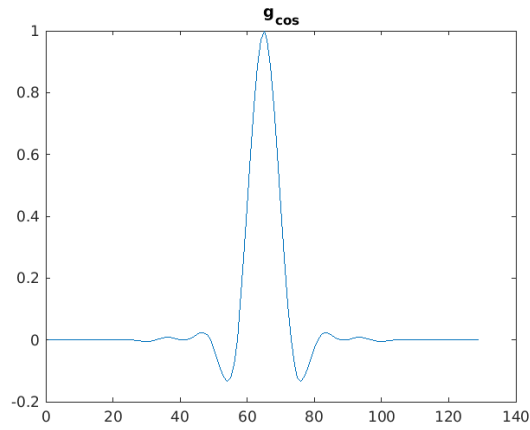


FIGURE 2 – La fonction g de la deuxième chaîne

D'après les figures ci-dessus, on déduit que le n_0 optimal pour la première chaîne est $n_0 = N_s$
 Pour la deuxième chaîne, vu le retard ... $n_0 = 8N_s + 1$

Ci-dessous, on voit les diagrammes de l'oeil de chaque chaîne :

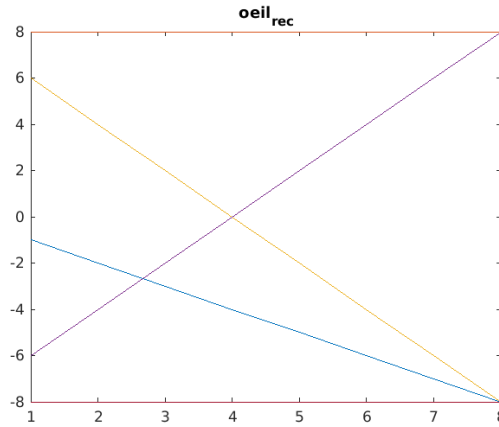


FIGURE 3 – Diagramme de l'oeil de la première chaîne

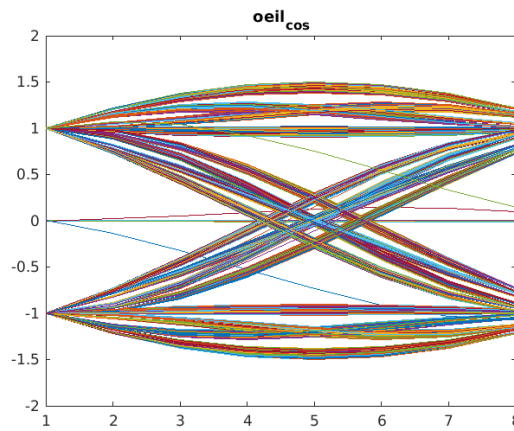


FIGURE 4 – Diagramme de l'oeil de la deuxième chaîne

2.2.3 Decision

Les valeurs du signal échantillonné sont sur un domaine discret où plutôt fini. Donc on va attribuer à chaque valeur positive +1, et à chaque valeur négative -1.

2.2.4 Demapping

Le démappage s'effectue avec la formule vue au début sur les deux décisions. Maintenant, il nous reste qu'à comparer les bits émis dans le modulateur puis obtenus dans le démodulateur. L'erreur que j'ai trouvé est nulle pour les deux chaînes. Tout est Bon !

3 Etude avec canal de propagation sans bruit

Nous allons maintenant considérer un canal de propagation à bande limitée BW mais qui n'introduit pas de bruit. Pour cela, pour chaque chaîne à étudier, nous devons reprendre la chaîne de transmission implantée précédemment, avec un échantillonnage aux instants optimaux, et ajouter un filtre passe-bas représentant le canal de propagation. La réponse impulsionnelle d'un filtre passe-bas peut être obtenue de la manière suivante : $h_c = (2 \cdot f_c / F_e) \cdot \text{sinc}(2 \cdot f_c \cdot [(N-1) \cdot T_e / 2 : (N-1) \cdot T_e / 2])$ où f_c représente la fréquence de coupure (BW ici) et N l'ordre du filtre.

3.1 $BW = 4000 \text{ Hz}$

On calcule $|H(f)H_r(f)|$ et $|H_c(f)|$, On les trace, puis on les compare.

Remarque :

Le critère de Nyquist est vérifiée car on a bien $BW > \frac{1+\alpha}{2}Rs = 2250Hz$

Première chaine

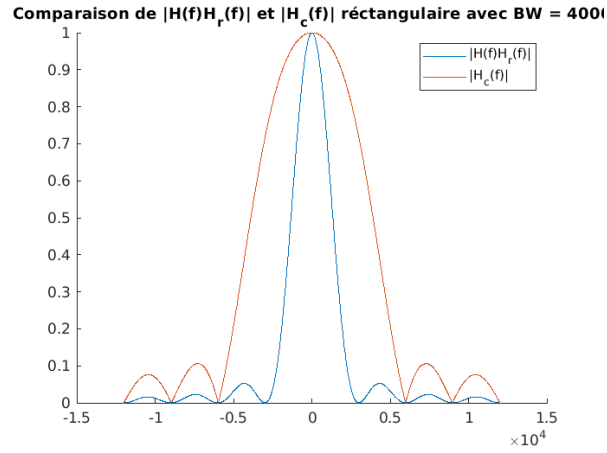


FIGURE 5 – $|H(f)H_r(f)|$ et $|H_c(f)|$

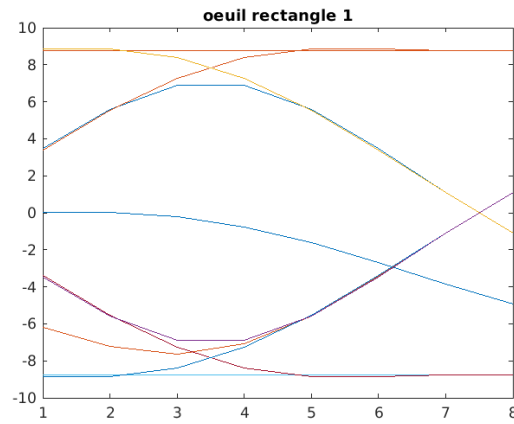


FIGURE 6 – Diagramme de l'oeil rectangulaire

Deuxième chaine

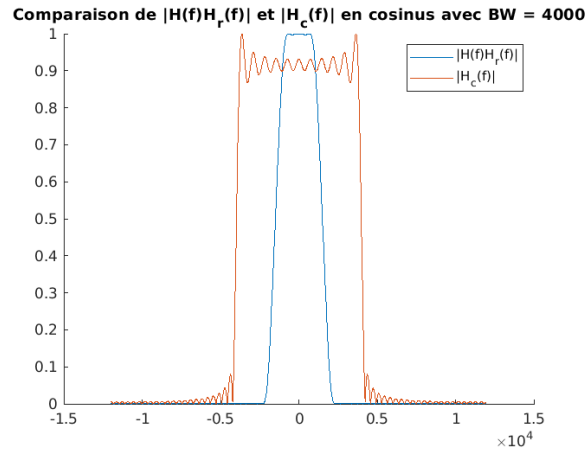


FIGURE 7 – $|H(f)H_r(f)|$ et $|H_c(f)|$

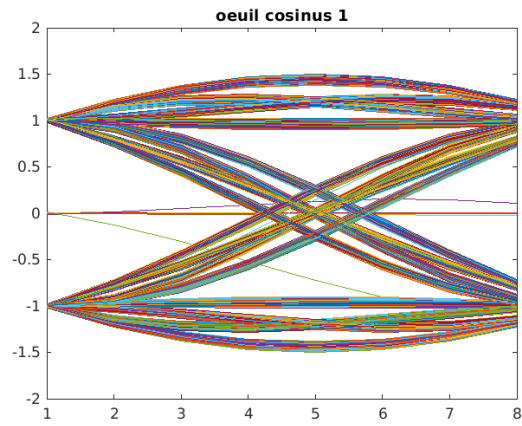


FIGURE 8 – Diagramme de l'oeil en cosinus

3.2 BW = 1000 Hz

De même on calcule les mêmes expressions, puis on les tracent sur le même graphe...

3.2.1 Remarque :

Le critère de Nyquist n'est pas vérifié ici du fait que $BW < \frac{1+\alpha}{2}Rs = 2250$

Première chaine

Comparaison de $|H(f)H_r(f)|$ et $|H_c(f)|$ rectangulaire avec BW = 1000

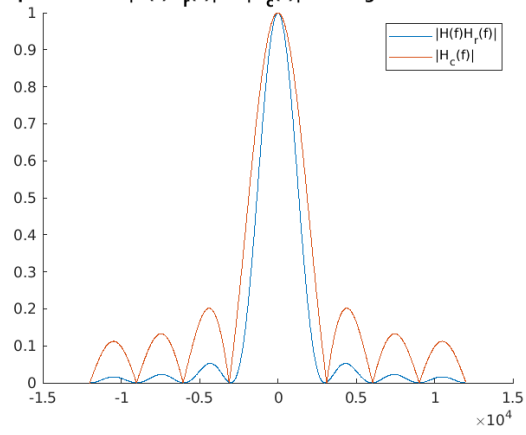


FIGURE 9 – $|H(f)H_r(f)|$ et $|H_c(f)|$

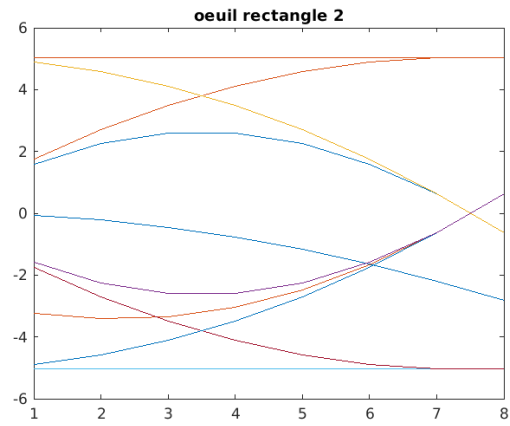


FIGURE 10 – Diagramme de l'oeil rectangulaire

Deuxième chaine

Comparaison de $|H(f)H_r(f)|$ et $|H_c(f)|$ en cosinus avec BW = 1000

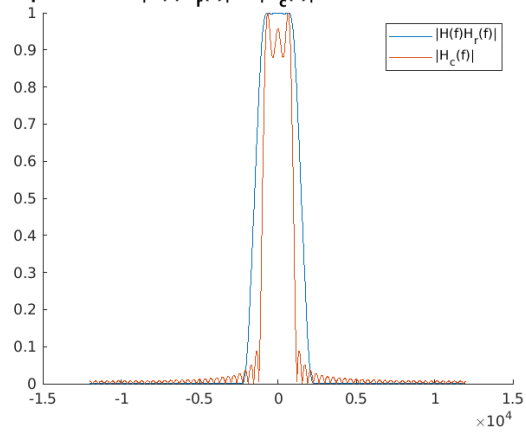


FIGURE 11 – $|H(f)H_r(f)|$ et $|H_c(f)|$

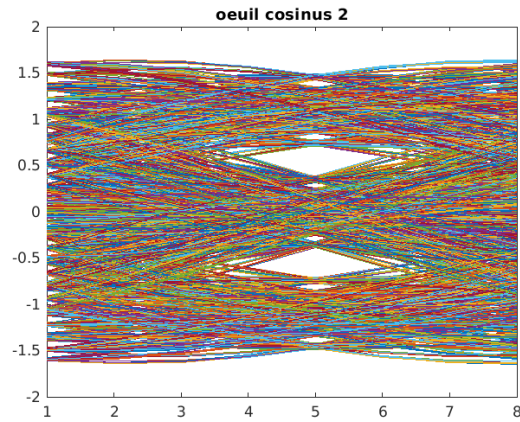


FIGURE 12 – Diagramme de l'oeil en cosinus

4 Réponse aux questions

4.1 Etude sans canal de propagation : bloc modulateur/démodulateur

4.1.1 Expliquez comment sont obtenus les instants optimaux d'échantillonnage (permettant d'échantillonner sans interférences entre symboles) :

À partir du tracé de g :

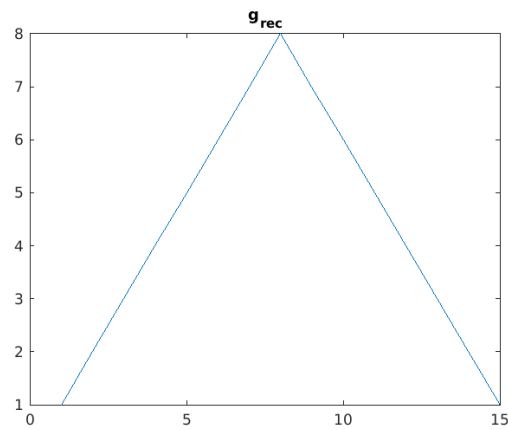


FIGURE 13 – La fonction g de la première chaîne

Première chaîne :

On sait que le critère de Nyquist est vérifié si :
pour $t_0 = T_s$, $g(t_0) \neq 0$ et $\forall p$ dans \mathbb{N} $g(t + pt_0) = 0$ Donc le bon n_0 c'est $N_s = 8$.

Deuxième chaîne : De même pour la deuxième chaîne on obtient $n_0 = 8N_s + 1 = 65$

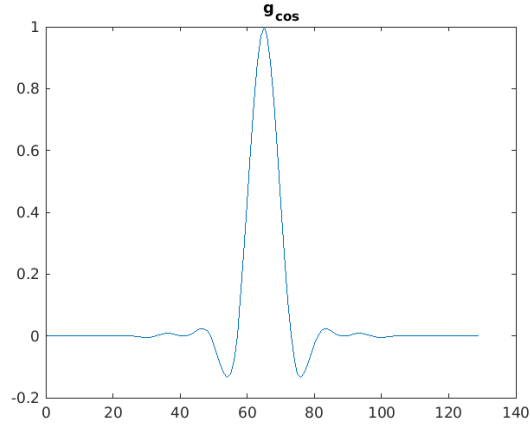


FIGURE 14 – La fonction g de la deuxième chaîne

À partir du tracé du diagramme de l'oeil en sortie du filtre de réception :

Première chaîne :

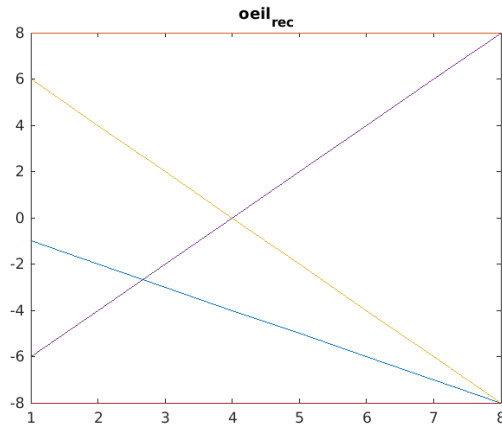


FIGURE 15 – Diagramme de l'oeil de la première chaîne

Le sommet de ce diagramme a la valeur $8 = N_s$, donc le n_0 qu'on doit choisir est N_s

deuxième chaîne :

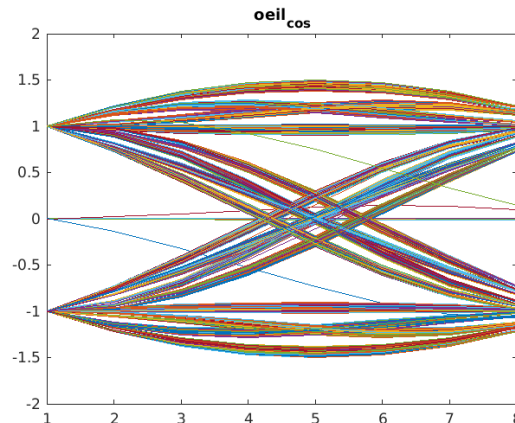


FIGURE 16 – Diagramme de l'oeil de la deuxième chaîne

Le sommet de ce diagramme a la valeur 1 et on a un retard de $8N_s$ donc le n_0 qu'on doit choisir est $8N_s + 1$

4.1.2 Expliquez pourquoi le le taux d'erreur binaire de la transmission n'est plus nul lorsqu'on échantillonne à $n_0 + mN_s$, avec $n_0 = 3$:

Avec $n_0 = 3$, on ne vérifie plus le critère de Nyquist. En effet le t_0 associé à $n_0 = 3$ ne vérifie pas les deux équations de g de Nyquist.

4.2 Etude avec canal de propagation sans bruit

Le critère de Nyquist peut-il être vérifié sur cette chaîne de transmission :
 Pour $BW = 4000$ Hz ?
 Pour $BW = 1000$ Hz ?

4.2.1 Expliquez votre réponse (oui ou non) en utilisant le tracé, sur la même figure, de $|H(f)H_r(f)|$ et de $|H_c(f)|$, où $H(f)$ est la réponse en fréquence du filtre de mise en forme, $H_r(f)$ la réponse en fréquence du filtre de réception et $H_c(f)$ la réponse en fréquence du filtre canal :

Il faut que le canal de propagation ne vienne pas déformer $H(f)H_r(f)$ qui respecte le critère de Nyquist. Il faut alors que $\frac{1+\alpha}{2}Rs < BW$ et donc que $2250\text{Hz} < BW$.

Pour $BW = 4000$ Hz

D'après le raisonnement précédant, le critère de Nyquist doit être vérifié. En terme de figures, on voit bien la différence, d'où l'expression qu'on a évoquée au début : "[...] le canal de propagation ne vienne pas déformer $H(f)H_r(f)$ "

Comparaison de $|H(f)H_r(f)|$ et $|H_c(f)|$ rectangulaire avec BW = 4000

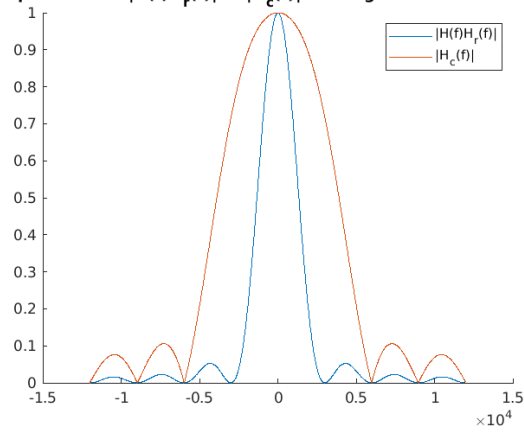


FIGURE 17 – $|H(f)H_r(f)|$ et $|H_c(f)|$

Comparaison de $|H(f)H_r(f)|$ et $|H_c(f)|$ en cosinus avec BW = 4000

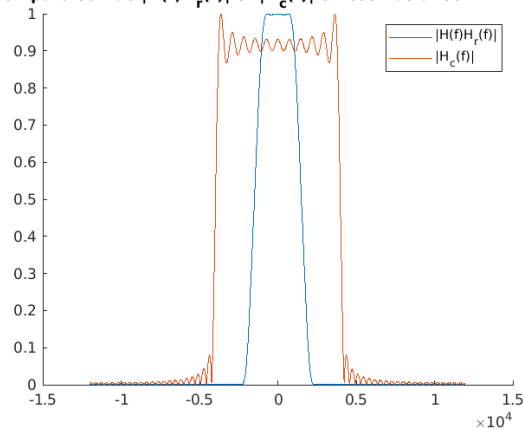


FIGURE 18 – $|H(f)H_r(f)|$ et $|H_c(f)|$

Pour BW = 1000 Hz

D'après le raisonnement précédant, le critère de Nyquist ne doit pas être vérifié. Les figures montrent le contraire de l'expression qu'on a évoquée au début : "[...] le canal de propagation ne vient pas déformer $H(f)H_r(f)$ "

Comparaison de $|H(f)H_r(f)|$ et $|H_c(f)|$ rectangulaire avec BW = 1000

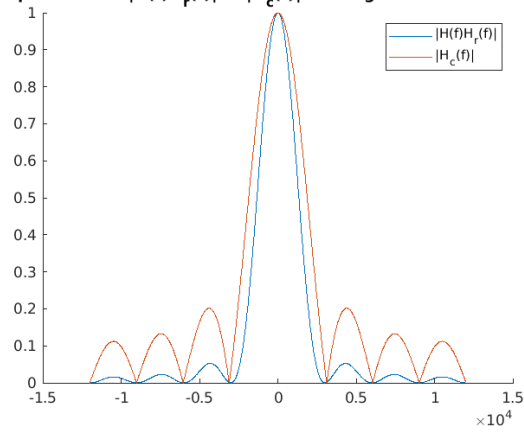


FIGURE 19 – $|H(f)H_r(f)|$ et $|H_c(f)|$

Comparaison de $|H(f)H_r(f)|$ et $|H_c(f)|$ en cosinus avec BW = 1000

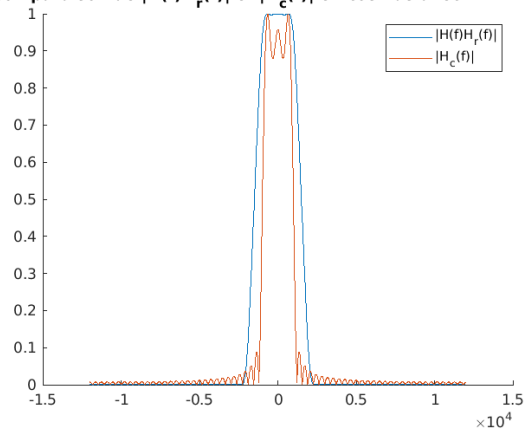


FIGURE 20 – $|H(f)H_r(f)|$ et $|H_c(f)|$

4.2.2 Expliquez votre réponse (oui ou non) en utilisant le tracé le diagramme de l'oeil à la sortie du filtre de réception :

On peut observer les interférences dans le deuxième cas où $BW = 1000\text{Hz}$, contrairement au premier cas où $BW = 4000\text{Hz}$.

D'où le critère de Nyquist est vérifié lorsque la fréquence de coupure est égale à 4000Hz , et non vérifié lorsque la fréquence de coupure est égale à 1000Hz .

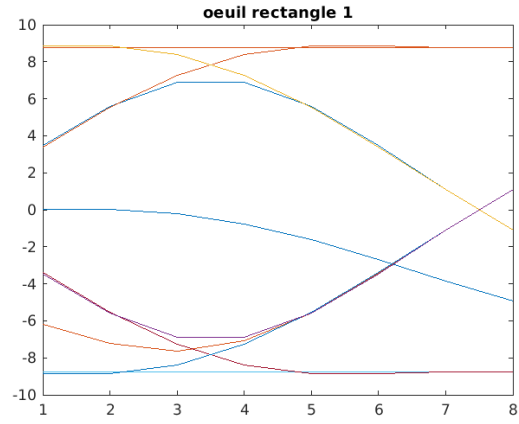


FIGURE 21 – Diagramme de l'oeil rectangulaire sans interférences

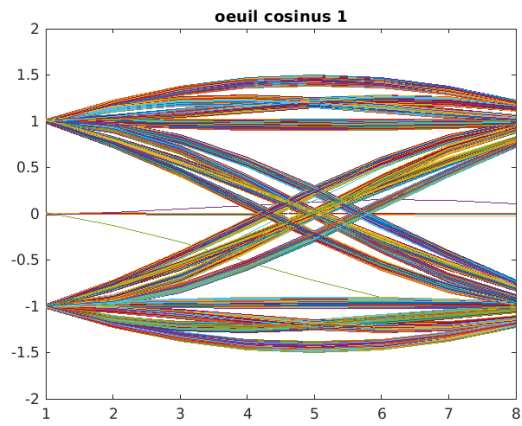


FIGURE 22 – Diagramme de l'oeil en cosinus sans interférences

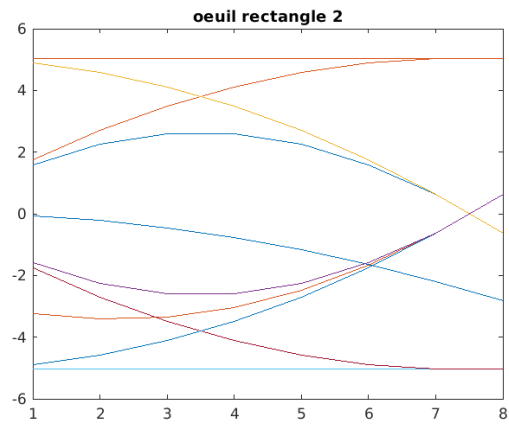


FIGURE 23 – Diagramme de l'oeil rectangulaire avec interférences

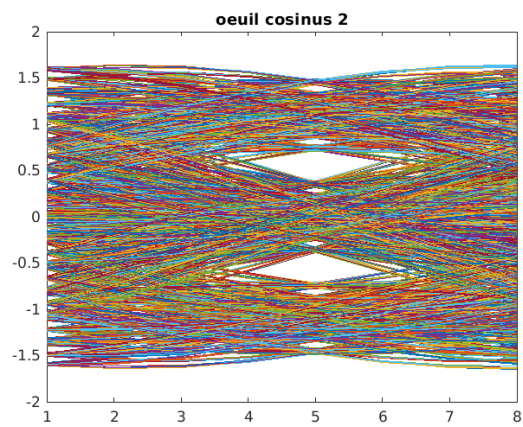


FIGURE 24 – Diagramme de l’œil en cosinus avec interférences

5 Références

Slides du cours, Nathalie Thomas